

Введение. Целью моей выпускной квалификационной работы является знакомство с уравнением Лёвнера для полуплоскости, когда в качестве управляющей функции выступает функция Вейерштрасса, а также нахождение числа Бомбиери.

В ходе работы решаются следующие задачи:

- рассмотреть основные свойства уравнения Лёвнера для полуплоскости;
- познакомиться с функцией Вейерштрасса;
- построить на языке Python двумерное множество, которое генерируется уравнением Лёвнера, если в качестве управляющей функции взять функцию Вейерштрасса;
- рассмотреть задачу Бомбиери для нахождения числа σ_{42} ;
- написать программный код для решения данной задачи.

В первой части выпускной квалификационной работы я рассматриваю уравнение Лёвнера для полуплоскости, где в качестве управляющей функции выступает детерминированный аналог броуновского движения, функция Вейерштрасса, которая, как и броуновское движение, непрерывна, и нигде не дифференцируема. В частности я буду работать с функцией

$$W(t) = \sum_{n=0}^{+\infty} 2^{-n/2} \cos(2^n t).$$

В сравнении с *SLE* я стремлюсь понять двумерные множества, которые генерируются уравнением Лёвнера, если в качестве управляющей функции взять функцию Вейерштрасса. Буду называть это семейство множеств «деформациями, управляемые функцией Вейерштрасса», и основная теорема, рассмотренная в первой части работы, устанавливает существование по крайней мере одного фазового перехода, как и в общем случае *SLE*.

Теорема 0.1. Деформации, обусловленные функцией Вейерштрасса $W(t)$, имеют фазовый переход. В частности, для достаточно малых c , халл, генерируемый функцией $cW(t)$, является простой кривой в $\mathbb{H} \cup cW(0)$ и не является простой кривой в случае, если c достаточно велико.

Для доказательства теоремы понадобится следующий результат, который дает нижнюю границу роста функции Вейерштрасса вблизи ее локальных максимумов.

Теорема 0.2. Пусть $t_{m,k} = m\pi/2^k$, где $m, k \in \mathbb{N}$. Если $0 < |h| \leq 2^{-(k+7)}$, то

$$W(t_{m,k}) - W(t_{m,k} + h) \geq 0.2\sqrt{|h|}.$$

Из этого результата следует, что $W(t)$ имеет локальные максимумы в точках вида $2^{-k}m\pi$.

Во второй части работы рассматривается уравнение Лёвнера в круге, с помощью которого решается задача Бомбиери.

Бомбиери привел доказательство локальной гипотезы Бибербаха о точной оценке $|a_n| \leq n$, $n \geq 2$ в классе S и поставил там же задачу о нахождении чисел

$$\sigma_{mn} = \lim_{a_m \rightarrow m} \inf \frac{n - \operatorname{Re}(a_n)}{m - \operatorname{Re}(a_m)} = \lim_{f \rightarrow K} \inf \frac{n - \operatorname{Re}(a_n)}{m - \operatorname{Re}(a_m)} \quad m, n \geq 2,$$

где f стремится к K локально равномерно внутри D .

Используя параметрическое представление Лёвнера и метод оптимального управления было вычислено число Бомбиери σ_{42} .

Основное содержание работы. Уравнение Лёвнера устанавливает соответствие между непрерывными вещественными функциями и некоторыми растущими семействами множеств на комплексной плоскости. Пусть λ — непрерывная, вещественнозначная функция, заданная на отрезке $[0, T]$. Выберем начальную точку $z_0 \in \overline{\mathbb{H}} \setminus \lambda(0)$, где $\mathbb{H} = \{x + iy : y > 0\}$ обозначает верхнюю полуплоскость. Тогда задача Коши для дифференциального уравнения Лёвнера имеет вид:

$$\frac{d}{dt}z(t) = \frac{2}{z(t) - \lambda(t)}, \quad z(0) = z_0. \quad (1.1)$$

На самом деле решение $z(t)$ будет продолжать существовать, если знаменатель в (1.1) не равен нулю. Если в некоторый момент времени $z(s) = \lambda(s)$, то z_0 захватывается λ в момент времени s . Определим халл в момент времени

t и обозначим его через K_t , как совокупность захваченных точек:

$$K_t = \{z_0 \in \overline{\mathbb{H}} : z(s) = \lambda(s), s \leq t\}.$$

Это семейство халлов $\{K_t\}_{t \in [0, T]}$ есть возрастающее семейство множеств, соответствующих $\lambda(t)$ через уравнение Лёвнера. Назовем $\lambda(t)$ управляющей функцией и будем говорить, что K_t порождается $\lambda(t)$.

Рассмотрим кратко пример.

Пример 1.3. Пусть $\lambda(t) = -c\sqrt{1-t}$ с $0 < c < 4$. K_t является простой кривой для всех $t \in [0, 1]$. Если $c \geq 4$, то K_t для значений $t < 1$ остается простой кривой. Однако при $t = 1$ геометрия ситуации меняется. В момент времени $t = 1$ простая кривая возвращается на действительную ось и образует «пузырь», так что окончательный халл K_t представляет собой кривую, точки в \mathbb{H} под кривой и интервал вещественной оси. Это показано на рисунках 1.3 и 1.4. Халлы K_t , порожденные $-c\sqrt{1-t}$ для $c = 3$ и $c = 5$.

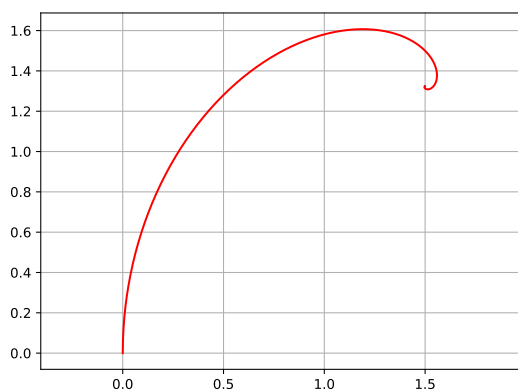


Рисунок 1.3

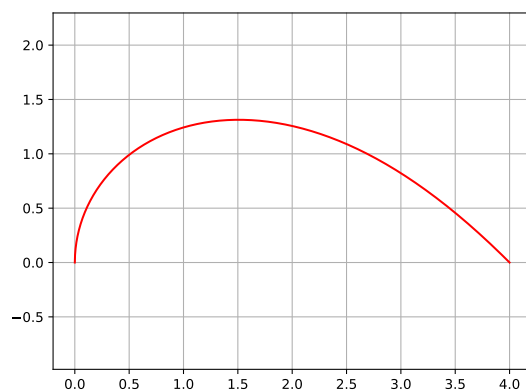


Рисунок 1.4

Далее перейдем к функции Вейерштрасса. Карл Вейерштрасс ввел функцию Вейерштрасса в 1872 году, опубликовав первый пример непрерывной функции, которая нигде не дифференцируема. Это функция может быть записана в виде:

$$F_{a,b}(t) = \sum_{n=0}^{\infty} a^n \cos(b^n t),$$

где параметр $a \in (0, 1)$, а параметр $b \geq 1/a^2$. Мы будем рассматривать случай при $a = 1/\sqrt{2}$ и $b = 2$, поэтому определим

$$W(t) = \sum_{n=0}^{\infty} 2^{-n/2} \cos(2^n t).$$

В 1916 г. Харди доказал, что при таком выборе параметров, $W(t)$ является функцией $Lip(1/2)$. Приведем доказательство результата Харди, позволяющее вычислить верхнюю границу нормы $Lip(1/2)$ для функции $W(t)$.

Предложение 2.1. $Lip(1/2)$ норма функции $W(t)$ удовлетворяет неравенству: $\|W(t)\|_{1/2} \leq 12$.

Этот результат дополняет теорему, которая дает нижнюю оценку локальной версии нормы $Lip(1/2)$.

Используем свойства уравнения Лёвнера, обсуждавшиеся ранее, и свойства функции Вейерштрасса, чтобы доказать наш основной результат - теорему 0.1.

Для рассмотрения возьмем границу c для фазового перехода, равную 4.

В качестве иллюстрации на языке Python написана программа, которая позволяет увидеть существование фазового перехода в зависимости от константы c .

На рисунках 3.1 и 3.2 представлены результаты работы программы при значении $c = 1$.

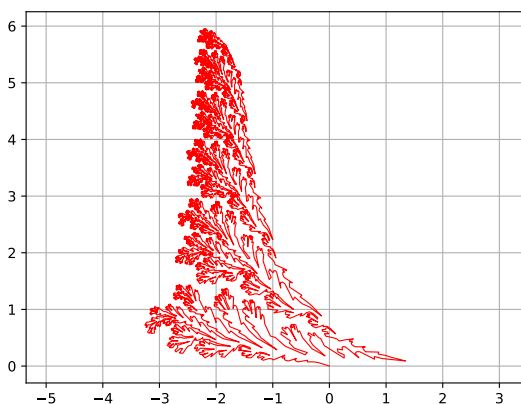


Рисунок 3.1

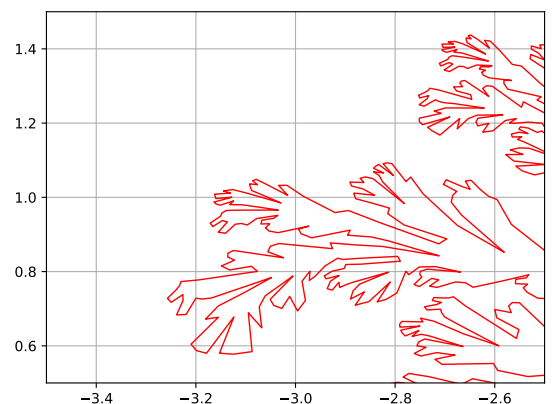


Рисунок 3.2

Видно, что халл является простой кривой. График не имеет самопересечений, что можно видеть на приближении 3.2.

На рисунке 3.3 представлены результаты работы программы при значении $c = 5$.

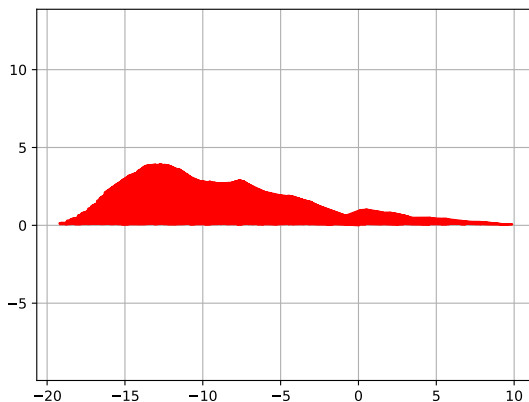


Рисунок 3.3

Видно, что халл не является простой кривой, а замыкается на вещественной оси.

Далее рассмотрим задачу Бомбиери. Он предложил описать строение множества значений начальных коэффициентов нормированных конформных отображений круга в окрестности угловой точки, соответствующей функции Кёбе. Числа Бомбиери характеризуют предельные положения опорных гиперплоскостей, проходящих через критическую угловую точку. Для ее решения, в качестве вспомогательного средства, рассмотрим обыкновенное дифференциальное уравнение Лёвнера для круга.

$$\frac{dw}{dt} = -w \frac{e^{iu} + w}{e^{iu} - w}, \quad w(0) = z, \quad t \geq 0, \quad (4.1)$$

где функция управления $u = u(t)$ кусочно непрерывна при $t \geq 0$.

Сделаем замену $t \rightarrow 1 - e^{-t}$.

Тогда уравнение будет примет вид

$$\frac{dw}{dt} = \frac{-w}{1-t} \cdot \frac{e^{iu} + w}{e^{iu} - w}, \quad w(0) = z, \quad 0 \leq t \leq 1 - 1/M. \quad (4.2)$$

Интегралы

$$w(z, t) = (1 - t)(z + a_2(t)z^2 + \dots) \quad (4.3)$$

уравнения (4.2) представляют собой всюду плотный подкласс функций $f \in S^M$.

Для того, чтобы задачу отыскания числа Бомбиери сформулировать в терминах оптимального управления, необходимо записать систему для начальных коэффициентов функции, порожденной уравнением Лёвнера. Отделяя действительную и мнимую части, получим фазовую систему дифференциальных уравнений:

$$\begin{aligned} \dot{x}_1(t) &= -2 \cos u, & x_1(0) &= 0 \\ \dot{x}_2(t) &= 2 \sin u, & x_2(0) &= 0 \\ \dot{x}_3(t) &= -4(x_1 \cos u + x_2 \sin u) - 2(1 - t) \cos 2u, & x_3(0) &= 0 \\ \dot{x}_4(t) &= -4(x_2 \cos u - x_1 \sin u) + 2(1 - t) \sin 2u, & x_4(0) &= 0 \\ \dot{x}_5(t) &= -2((x_1^2 - x_2^2 + 2x_3) \cos u + 2(x_1x_2 + x_4) \sin u) - \\ &- 6(1 - t)(x_1 \cos 2u + x_2 \sin 2u) - 2(1 - t)^2 \cos 3u, & x_5(0) &= 0. \end{aligned} \quad (4.4)$$

Отметим, что случай $u = \pi$ соответствует функции Кёбе в классе S или функции Пика в классе S^M . Кроме того, всюду плотный подкласс S^M содержит все функции, задающие граничные точки области коэффициентов

$$V_4^M = \{(a_2, a_3, \operatorname{Re}(a_4)) : f \in S^M\}, \quad 1 \leq M \leq \infty.$$

Задача о вычислении чисел Бомбиери сводится к определению линейных функционалов на классе S , локальный экстремум которых дается функцией Кёбе. Экстремальная задача

$$\operatorname{Re} L(\mu, \nu, f) \longrightarrow \max,$$

где $L(\mu, \nu, f) = a_2 + \mu a_3 + \nu a_4$, а $f(z) = z + \sum_{n=2}^{\infty} a_n z^n$, эквивалентна экстремальной задаче

$$x_1(1 - 1/M) + \mu x_3(1 - 1/M) + \nu x_5(1 - 1/M) \longrightarrow \max. \quad (4.5)$$

Параметрическое представление для коэффициентов, порожденных уравнением Лёвнера, позволяет применить принцип максимума Понтрягина. Запишем функцию Гамильтона этой экстремальной задачи, чтобы сформулировать необходимые условия экстремума

$$\begin{aligned}
H(t, x, \Psi, u) = & -2 \cos u \Psi_1 + 2 \sin u \Psi_2 - \\
& - (4(x_1 \cos u + x_2 \sin u) + 2(1-t) \cos 2u) \Psi_3 - \\
& - (4(x_2 \cos u - x_1 \sin u) - 2(1-t) \sin 2u) \Psi_4 - \\
& - (2((x_1^2 - x_2^2 + 2x_3) \cos u + 2(x_1 x_2 + x_4) \sin u) + \\
& + 6(1-t)(x_1 \cos 2u + x_2 \sin 2u) + 2(1-t)^2 \cos 3u) \Psi_5, \quad (4.6)
\end{aligned}$$

где $x = (x_1, x_2, x_3, x_4, x_5)^T$ удовлетворяет системе 1, а $\Psi = (\Psi_1, \dots, \Psi_5)^T$, удовлетворяет сопряжённой системе дифференциальных уравнений:

$$\begin{aligned}
\dot{\Psi}_1(t) &= 4 \cos u \Psi_3 - 4 \sin u \Psi_4 + (4x_1 \cos u + 2x_2 \sin u + 6(1-t) \cos 2u) \Psi_5, \\
\dot{\Psi}_2(t) &= 4 \sin u \Psi_3 + 4 \cos u \Psi_4 + (-4x_2 \cos u + 2x_1 \sin u + 6(1-t) \sin 2u) \Psi_5, \\
\dot{\Psi}_3(t) &= 4 \cos u \Psi_5, \\
\dot{\Psi}_4(t) &= 4 \sin u \Psi_5, \\
\dot{\Psi}_5(t) &= 0 \quad (4.7)
\end{aligned}$$

и условиям трансверсальности

$$\begin{aligned}
\Psi_1(1 - 1/M) &= 1, \quad \Psi_3(1 - 1/M) = \mu, \quad \Psi_5(1 - 1/M) = \nu, \\
\Psi_2(1 - 1/M) &= \Psi_4(1 - 1/M) = 0. \quad (4.8)
\end{aligned}$$

Оптимальная управляющая функция u соответствующая экстремальной функции $f^* \in S^M$ в (4.5), удовлетворяет принципу максимума Понтрягина

$$\max_u H(t, x, \Psi, u) = H(t, x^*, \Psi^*, u^*), \quad 0 \leq t \leq 1 - 1/M, \quad (4.9)$$

где (x^*, Ψ^*) является решением систем (4.4) и (4.7) с $u = u^*$ в их правых частях.

Для определения координат вектора начальных данных сопряженной гамильтонвой системы воспользуемся условием трансверсальности. В этом случае координаты решения $(x(t), \Psi(t)) = (x^0(t), \Psi^0(t))$ вычисляются по данным формулам.

При интегрировании выражений при условии $x_j(0) = 0, j = 1, \dots, 4$ и $u = u^* = \pi$ получим системы:

$$\begin{aligned} x_1^0(t) &= 2t \\ x_3(t) &= 5t^2 - 2t \\ x_2^0(t) &= x_4^0(t) = 0. \end{aligned} \tag{4.12}$$

$$\begin{aligned} \Psi_1^0(t) &= \nu(t - 1 + 1/M)^2 + (14\nu/M - 8\nu - 4\mu)(t - 1 + 1/M) + 1 \\ \Psi_3^0(t) &= \mu - 4\nu(t - 1 + 1/M) \\ \Psi_5^0(t) &= \nu \\ \Psi_2^0(t) &= \Psi_4^0(t) = 0. \end{aligned} \tag{4.13}$$

Обозначим через $D(M)$ максимальную область в (μ, ν) -плоскости, звездообразную относительно начала координат и удовлетворяющую следующим условиям :

- 1) $H(t, u)$ как функция $y = \cos u$ достигает своего максимума на $[-1, 1]$ только при $y = -1$ для всех $t \in [0, 1 - 1/M]$;
- 2) $H_{uu}(t, x, \Psi, u) \neq 0, 0 \leq t \leq 1 - 1/M$.

Будем рассматривать $(\mu, \nu) \in D(M)$. Точка $x^0(1 - 1/M)$ принадлежит границе ∂V_4^M области V_4^M и задается функцией Пика.

Лемма 4.2. Пусть $(\mu, \nu) \in D(M)$ и пусть $x^-(t, \xi), \Psi^-(t, \xi)$ решение задач (4.4) и (4.7) с краевыми условиями $\Psi^-(1 - 1/M, \xi) = \Psi^0(1 - 1/M) + \xi$. Пусть управляющая функция $u = u^-(t, \xi)$ правых частях систем (4.4) и (4.7) удовлетворяет принципу максимума Понтрягина. Если

$$\|x^-(1 - 1/M, \xi) - x^0(1 - 1/M)\| = o(1), \quad \xi \rightarrow 0,$$

то

$$\|\Psi^-(0, \xi) - \Psi^0(0)\| = o(1).$$

Лемма 4.3. Пусть $(\mu, \nu) \in D(M)$ и начальные условия в (4.7) равны

$$\Psi(0, \xi) = \Psi^0(0) + \xi, \quad \xi = \varepsilon e, \quad \varepsilon > 0, \quad e = (e_1, \dots, e_5)^T, \quad \|e\| = 1 \quad (4.14)$$

и

$$x(t, \xi) = x^0(t) + \varepsilon \delta x(t) + o(\varepsilon), \quad \varepsilon \rightarrow 0. \quad (4.15)$$

Тогда вектор $\Psi^0(1 - 1/M)$ ортогонален $\delta x(1 - 1/M)$, если $\delta x(1 - 1/M) \neq 0$.

Лемма 5.1. В условии леммы 4.3 предположим, что вектор $e = (e_1, \dots, e_5)^T$, который соответствует вариации $\Psi^0(0)$ в (4.14) с нулевыми координатами e_2, e_4 . Тогда $\delta x(1 - 1/M) = 0$.

Аналогично равенству (4.15) запишем разложение для сопряженного вектора

$$\Psi(t, \xi) = \Psi^0(t) + \varepsilon \delta \Psi(t) + o(\varepsilon), \quad \varepsilon \rightarrow 0.$$

Из лемм 4.1–5.1 следует, что для изучения характера точки $x^0(1 - 1/M)$ из границы V_4^M следует рассмотреть вариации по (4.14) с $e_1 = e_3 = e_5 = 0$.

Пусть $\xi = (0, p, 0, q, 0)$ с произвольными вещественными p и q . Изучим $x(1 - 1/M, \xi)$ в окрестности точки $x^0(1 - 1/M)$. Другими словами, будем решать систему (4.7), в которой координаты вектора начальных данных задаются формулами:

$$\begin{aligned} \Psi_1(0) &= 3\nu(1 - 1/M)(3 - 5/M) + 4\mu(1 - 1/M) + 1 \\ \Psi_2(0) &= p \\ \Psi_3(0) &= \mu + 4\nu(1 - 1/M) \\ \Psi_4(0) &= q \\ \Psi_5(0) &= \nu. \end{aligned} \quad (5.1)$$

Пусть

$$F : (p, q) \longrightarrow x_1(1 - 1/M) + \mu x_3(1 - 1/M) + \nu x_5(1 - 1/M).$$

Лемма 5.2. Предположим, что $(\mu, \nu) \in D(M)$. Если функция Пика P_M доставляет локальный максимум значениям $ReL(\mu, \nu, f)$ в классе $S(M)$, то

$$\begin{aligned} F_{pp}(0, 0) &\leq 0 \\ F_{pp}(0, 0)F_{qq}(0, 0) - F_{pq}^2 &\geq 0. \end{aligned}$$

Обратно, если

$$\begin{aligned} F_{pp}(0, 0) &< 0 \\ F_{pp}(0, 0)F_{qq}(0, 0) - F_{pq}^2 &> 0, \end{aligned}$$

то P_M доставляет локальный максимум значениям $ReL(\mu, \nu, f)$ в классе $S(M)$.

Далее получили алгоритм вычисления $F_{pp}(0, 0)$, выраженный следующей леммой.

Лемма 5.3. Пусть $(\mu, \nu) \in D(M)$ и $(x_1)_{pp}, (x_3)_{pp}, (x_5)_{pp}, (x_2)_p, (x_4)_p, (\Psi_2)_p, t \in [0, 1 - 1/M]$ решения задачи Коши для дифференциальных уравнений (5.12)-(5.17). Тогда справедливо равенство

$$F_{pp}(0, 0) = (x_1)_{pp}(1 - 1/M) + \mu(x_3)_{pp}(1 - 1/M) + \nu(x_5)_{pp}(1 - 1/M).$$

Вычисление F_{qq} и F_{pq} произведем аналогичным образом.

Лемма 5.4. Пусть $(\mu, \nu) \in D(M)$ и $(x_1)_{qq}, (x_3)_{qq}, (x_5)_{qq}, (x_2)_q, (x_4)_q, (\Psi_2)_q, t \in [0, 1 - 1/M]$ решения задачи Коши для дифференциальных уравнений (5.18)-(5.23). Тогда справедливо равенство

$$F_{qq}(0, 0) = (x_1)_{qq}(1 - 1/M) + \mu(x_3)_{qq}(1 - 1/M) + \nu(x_5)_{qq}(1 - 1/M).$$

Пусть $(\mu, \nu) \in D(M)$ и $(x_2)_q, (x_4)_p, (\Psi_2)_p$ и $(x_1)_{pq}, (x_3)_{pq}, (x_5)_{pq}, t \in [0, 1 - 1/M]$ решения задачи Коши для дифференциальных уравнений (5.15)-(5.17)

и (5.24)-(5.26). Тогда справедливо равенство

$$F_{pq}(0, 0) = (x_1)_{pq}(1 - 1/M) + \mu(x_3)_{pq}(1 - 1/M) + \nu(x_5)_{pq}(1 - 1/M).$$

Применим теперь леммы 5.2-5.4 для вычисления числа Бомбиери, равного супремуму по всем действительным значениям λ_{42} таким, что $Re(a_2 - \lambda_{42}a_4)$ локально максимизируется функцией Кёбе в S .

Численные методы, примененные для решений (5.12)-(5.26), позволяют сформулировать следующую теорему.

Теорема 6.1. Число Бомбиери σ_{42} равно $0,050057\dots$, то есть максимальному отрицательному корню уравнения (6.2), умноженному на (-1) , где $(x_1)_{pp}, (x_3)_{pp}, (x_5)_{pp}, (x_2)_p, (x_4)_p, (\Psi_2)_p, (x_1)_{qq}, (x_3)_{qq}, (x_5)_{qq}, (x_2)_q, (x_4)_q, (x_2)_q, (x_4)_p, (\Psi_2)_p, (x_1)_{pq}, (x_3)_{pq}, (x_5)_{pq}$ являются решениями задачи Коши для дифференциальных уравнений (5.12)-(5.26) при $\mu = 0$ и $M = \infty$.

Для численного решения поставленной задачи была использована система Wolfram Mathematica.

Заключение. В ходе работы было произведено знакомство с уравнением Лёвнера для полуплоскости, когда в качестве управляющей функции выступает функция Вейерштрасса. Были рассмотрены основные теоремы, касающиеся данной управляющей функции, и разобраны их доказательства. Некоторые свойства функции Вейерштрасса были проиллюстрированы с помощью графиков, построенных путем написания программы на языке Python. Была написана программа для построения халла, являющегося решением уравнения Лёвнера с управляющей функцией Вейерштрасса при различных значениях s .

Во второй части работы была рассмотрена задача Бомбиери в классе S однолистных функций для нахождения числа σ_{42} . Разработан численный алгоритм на языке Wolfram Mathematica, который позволяет найти число Бомбиери σ_{42} .